**А.А. Аржанников**; **В.Д. Глотов**, канд. техн. наук; **И.В. Котов**; **А.Н. Кузенков**, канд. техн. наук (АО «ЦНИИмаш», г. Королёв)

# ОЦЕНКА БАЗОВЫХ ХАРАКТЕРИСТИК И КАРТ ИОНОСФЕРЫ СИСТЕМ *SBAS*

Представляются результаты исследования зарубежных систем широкозонных функциональных дополнений глобальных навигационных спутниковых систем (ГНСС), именуемых SBAS (Space Based Augmentation System - системы функционального дополнения космического базирования). Приводятся предварительные оценки характеристик восьми региональных SBAS-систем, полученные в результате обработки предоставленных ими данных в суточном интервале с использованием программного обеспечения (ПО) Информационно-аналитического центра (ИАЦ) координатно-временного и навигационного обеспечения (КВНО) АО «ЦНИИмаш». Указывается, что передаваемые SBAS-системами региональные карты ионосферы обладают точностью, сопоставимой с глобальными картами ионосферы ИАЦ КВНО и других центров анализа. Отмечается, что в целом исследованные параметры SBAS-систем (геометрический фактор, количество видимых космических аппаратов (КА), уровень доступности) находятся в пределах допустимых значений.

**Ключевые слова:** ГЛОНАСС, глобальная навигационная спутниковая система, функциональное дополнение ГНСС, система дифференциальной коррекции и мониторинга (СДКМ), SBAS, Satellite Based Augmentation System, ионосфера, карты ионосферы, полное электронное содержание (ПЭС), эфемеридно-временная информация (ЭВИ), частотно-временные поправки, расчёт орбит космических аппаратов, SISNET.

A.A. Arzhannikov, V.D. Glotov, I.V. Kotov, A.N. Kuzenkov. Assessment of Basic Characteristics and Ionosphere Maps for SBAS Systems. The objective of this work is to evaluate the characteristics of foreign widearea augmentation systems for global navigation satellite systems (GNSS), known as SBAS (Space-Based Augmentation Systems). Preliminary results of the characteristics assessment for eight foreign regional SBAS systems obtained using the software of the Information and Analysis Center for Positioning, Navigation and Timing (IAC PNT) JSC «TsNIIMash». The conducted work confirms that the regional ionospheric maps transmitted by SBAS systems have accuracy comparable to the global ionospheric maps of IAC PNT and other analysis centers. Overall, the studied parameters of SBAS systems are within acceptable range of values.

**Key words:** GLONASS, GNSS, GNSS augmentation, SDCM, SBAS, ionosphere, ionosphere maps, total electron content, TEC, ephemeris, clock offsets, orbit determination, SISNET.

B о всём мире применяются системы  $\mathit{SBAS}$ , которые обеспечивают повышение точности и надёжности ГНСС для различных пользователей. На территории Российской Федерации функционирует система

дифференциальной коррекции и мониторинга  $^{1}$ , разрабатываемая специалистами АО «Российские космические системы» [1] и являющаяся функциональным дополнением к ГНСС. Зарубежные SBAS-системы включают в себя WAAS (США); EGNOS (Евросоюз), BDSBAS (Китай); GAGAN (Индия); MSAS (Япония); SouthPAN (Австралия); ANGA (Африка); KAAS (Южная Корея); UKSBAS (Великобритания). Их исследование проводится в ИАЦ КВНО с целью сравнительного анализа и независимого подтверждения технических характеристик, что помогает разрабатывать рекомендации по улучшению отечественной системы. В работе [2] были представлены результаты исследования СДКМ. В продолжение этой работы приведём оценку характеристик восьми зарубежных SBAS-систем, кратко представленную  $^{2}$  27 мая 2024 г. на XXXI Санкт-Петербургской международной конференции по интегрированным навигационным системам [3].

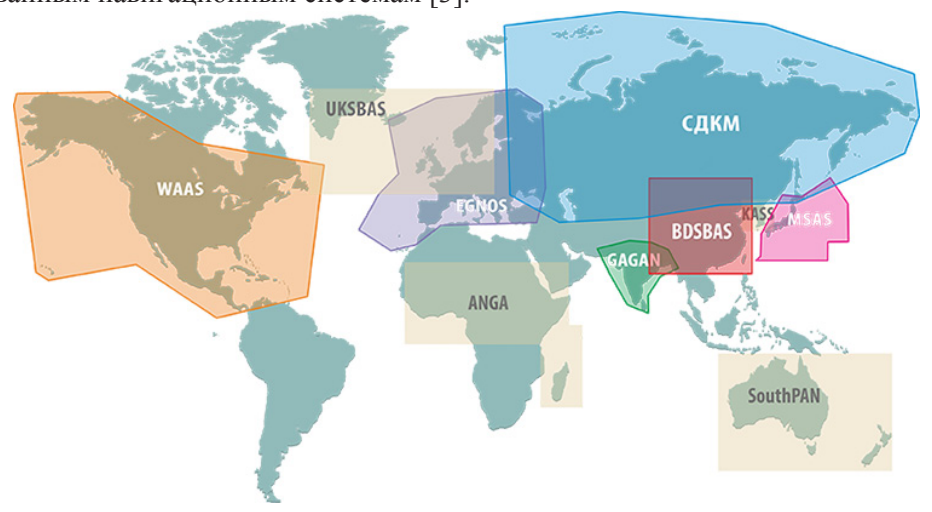


Рис. 1. Зоны покрытия SBAS-систем на карте мира

На рис. 1 показана карта зон покрытия существующих SBAS-систем, при этом данные для обработки в ИАЦ были доступны по всем упомянутым зарубежным системам, кроме KAAS. У каждой системы своя зона покрытия, однако существуют территории, которые охватываются одновременно несколькими системами.

Все *SBAS*-системы имеют собственную инфраструктуру, тем не менее они работают по схожим принципам. В состав *SBAS*-систем обычно входят наземный и космический сегменты. Наземный сегмент *SBAS* включает в себя сеть станций сбора измерений, систему передачи данных, центр управления и станции закладки информации для космического сегмента, который, как правило, состоит из нескольких геостационарных спутников, ретранслирующих целевую информацию потребителям.

## ПРОГРАММНОЕ ОБЕСПЕЧЕНИЕ ДЛЯ ОБРАБОТКИ СООБЩЕНИЙ SBAS

Для повышения точности и обеспечения целостности, под которой понимается соответствие содержания и последовательности навигационных сообщений ГНСС требованиям Интерфейсного контрольного документа,

 $<sup>^{1)}</sup>$  Сайт СДКМ, контроль точности SBAS. https://www.sdcm.ru/ (дата обращения 01.09.2024 г.).

<sup>&</sup>lt;sup>2)</sup> https://glonass-iac.ru/about/publications/detail.php?ID=4162 (дата обращения 01.09.2024 г.).

в кадре SBAS-систем передаётся корректирующая информация в виде поправок к бортовой ЭВИ ГНСС, информация о целостности навигационных сигналов ГНСС (с временем предупреждения о сбоях в ГНСС в пределах 6 с) и цифровая карта ионосферных задержек. Доставка сообщений пользователям SBAS осуществляется в режиме реального времени через космический сегмент при помощи геостационарных КА, а также через наземные средства по сети Интернет с применением технологии SISNET [4] (Signal-in-Space through Internet). В качестве исходных данных в работе использовался архив<sup>1)</sup> SISNET сообщений SBAS-систем, размещённый на общедоступном FTP-сервере французского Национального центра космических исследований (Centre National d'Études Spatiales (CNES)).

Рассматриваемые системы имеют региональные различия, но принципы хранения и передачи целевой информации во многом схожи и соответствуют эксплуатационному стандарту SBAS [5]. Это позволило адаптировать существующий программный комплекс [2], расширив его функционал не только для анализа СДКМ, но и для оценки зарубежных систем. По итогам работы [2] было установлено, что суточного интервала достаточно для оценки базовых характеристик, в ходе представляемых исследований анализ также проводился в суточном интервале 15.12.2023.

Модернизированное ПО, разработанное в ИАЦ КВНО, позволяет выполнять такие задачи, как:

- обработка исходных массивов данных в формате SISNET с контролем корректности форматов данных и полноты сообщений; создание файлов ЭВИ с учётом корректирующей информации SBAS в формате SP3 [6] и региональных карт вертикальных ионосферных задержек SBAS в формате IONEX [7];
- расчёт пространственных карт распределения количества видимых КА, а также геометрического фактора (DOP - dilution of precision) применительно к рассматриваемым SBAS-системам. В ходе расчёта учитываются только КА с достоверной корректирующей информацией SBAS, прошедшей контроль корректности форматов данных и полноты сообщений, что позволяет оценить фактический уровень доступности SBAS для потребителей;
- оценка точности региональных карт ионосферных задержек SBAS путём сравнения с глобальными картами ионосферы<sup>2)</sup> согласно расчётам ИАЦ КВНО и зарубежных центров анализа, а также с моделью Клобучара из кадра GPS.

С помощью созданного ПО в ИАЦ КВНО были обработаны массивы сообщений зарубежных SBAS-систем в апостериорном режиме и созданы файлы ЭВИ с учётом поправок SBAS-систем в формате SP3, а также разработаны региональные ионосферные карты полного электронного содержания (TEC – Total Electron Content) в формате IONEX.

На основе полученных файлов в стандартных форматах в рамках представляемого исследования в выбранном суточном интервале был произведён расчёт пространственных карт распределения количества видимых космических аппаратов и геометрического фактора (пространственный РДОР, в горизонтальной плоскости *HDOP*). Также было проведено попарное сравнение региональных ионосферных карт SBAS с глобальными картами ионосферы согласно расчётам ИАЦ КВНО<sup>3)</sup> [8] и четырёх зарубежных цен-

<sup>1)</sup> Архив SBAS сообщений, FTP-сервер CNES. ftp://serenad-public.cnes.fr/Niveau0/SER-ENAD0/FROM\_NTMFV2/MSG/ (дата обращения 01.09.2024 г.).

<sup>2)</sup> Раздел «Ионосфера» на сайте ИАЦ КВНО. https://www.glonass-iac.ru/iono/ (дата обращения 01.09.2024 г.).

3) https://glonass-iac.ru/about/publications/detail.php?ID=4023 (дата обращения 01.09.2024 г.).

тров анализа международной службы *IGS* (*International GNSS Service*). Для наглядности представлено сравнение с упрощённой моделью Клобучара из кадра *GPS*. Поскольку зоны покрытия *SBAS*-систем различны, для оценки ионосферы были выбраны общие зоны: от 40 до 50 *град* с.ш. применительно к семи *SBAS*-системам и от 40 до 50 *град* ю.ш. отдельно для *SouthPAN* (Австралия).

#### ОЦЕНКА БАЗОВЫХ НАВИГАЦИОННЫХ ХАРАКТЕРИСТИК

На момент исследования для всех зарубежных SBAS-систем дополняемой ГНСС является GPS. Для СДКМ основной дополняемой системой служит ГЛОНАСС (24 КА), а сопутствующей — GPS. Однако в связи с ограничениями стандарта SBAS [5, 9] на передачу информации максимум для 51 КА в кадре СДКМ присутствует корректирующая информация лишь для 27 КА GPS из общего состава этой группировки в 32 спутника.

По итогам расчёта общее число дополняемых КА составило от 30 до 32 в различных SBAS-системах. При этом одномоментно в кадре SBAS содержится корректирующая информация лишь для тех КА, которые находятся в зоне видимости сети станций сбора измерений SBAS. Таким образом, данные в полученных файлах SP3 имеют разрывы в те временные промежутки, когда КА GPS находятся вне территориальной зоны видимости SBAS. Среднее одномоментное число КА в кадре SBAS составило от 14 до 21.

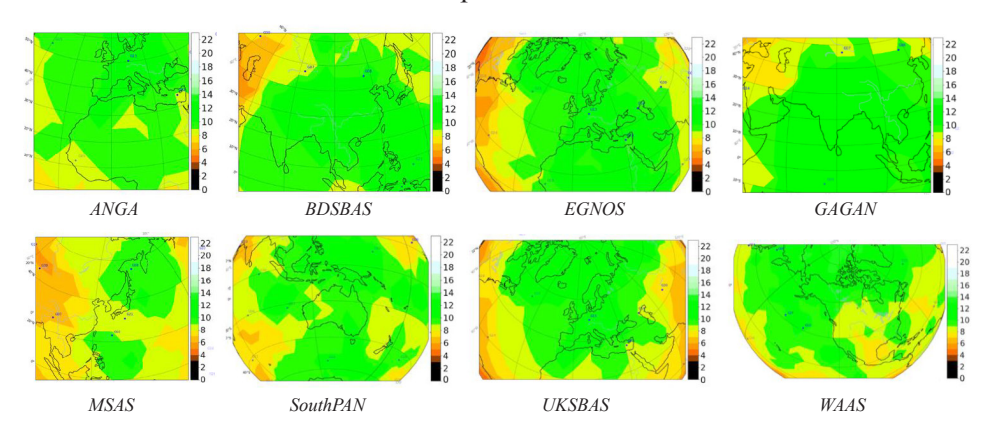


Рис. 2. Количество видимых КА, дополняемых SBAS (11:00 UTC 15.12.2023)

На рис. 2 представлены карты распределения наблюдаемых КА, дополняемых SBAS, в одном масштабе. Расчёт проводился применительно к каждой пространственной точке, при этом исключались КА с углом места менее 5  $\it град$  и КА с флагом «не использовать» (в том случае, когда дифференциальная пользовательская погрешность измерения дальности  $\it UDRE$  более 13 [9]), а усреднённое по пространству значение наблюдаемых КА составило от 8,7 до 10,5.

На основании созданных файлов ЭВИ SP3 были построены карты распределения геометрических факторов PDOP и HDOP. Примеры полученных пространственных карт распределения PDOP КА GPS, дополняемых SBAS-системами, представлены на рис. 3 в одном масштабе на  $11:00\ UTC$  15 декабря  $2023\ r$ . При расчёте исключались KA с углом места менее  $5\ zpad$  и KA с флагом непригодности. Усреднённые суточные значения PDOP составили от 1,6 до 1,8, значения HDOP — от 0,8 до 1,0.

Результаты расчётов представлены в табл. 1. Для сравнения добавлены аналогичные показатели по СДКМ на основе исследования  $^{1)}$  [2].

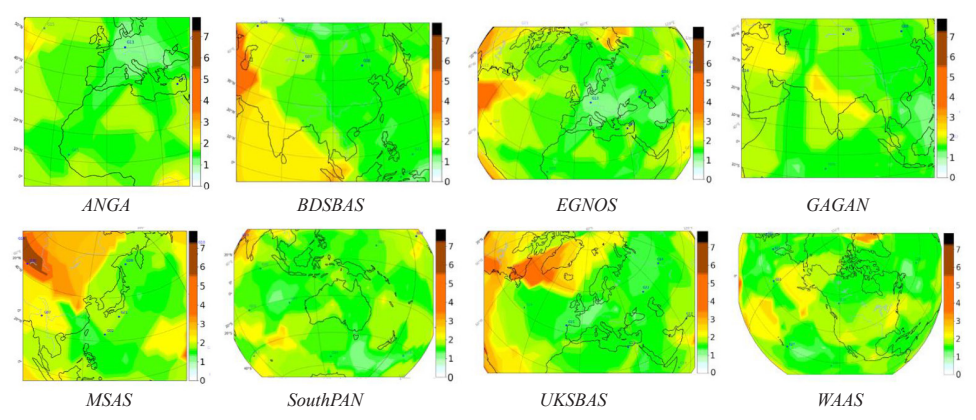


Рис. 3. Карты распределения PDOP (11:00 UTC 15.12.2023)

Таблица 1 **Базовые характеристики** *SBAS* систем (15.12.2023)

Система	PDOP	HDOP	Всего КА в кадре SBAS	Среднее количество КА в кадре <i>SBAS</i>	Среднее количество видимых КА SBAS	Уровень доступности, %	
ANGA	1,80	0,95	30	14	8,7	100	
BDSBAS	1,60	0,88	32	16	10,0	100	
EGNOS	1,57	0,84	31	17	10,5	100	
GAGAN	1,58	0,83	31	17	10,2	100	
MSAS	1,73	0,94	31	13	9,4	100	
SouthPAN	1,62	0,85	31	20	10,0	100	
UKSBAS	1,70	0,94	31	15	9,7	100	
WAAS	1,65	0,88	31	21	9,9	100	
СДКМ*	1,21	0,62	51	28	16,9	100	

Примечание: \*по результатам исследования [2]

По итогам расчётов уровень доступности SBAS-систем при условии, что PDOP менее 6 и угол места KA более 5  $\it zpad$ , составил 100% у всех систем в выбранном суточном интервале.

## ОЦЕНКА ИОНОСФЕРНЫХ КАРТ SBAS

Ионосферная задержка псевдодальности ГНСС прямо пропорциональна электронному содержанию вдоль всего пути сигнала (количеству свободных электронов) и обратно пропорциональна квадрату частоты сигнала в первом приближении. Карты вертикальных ионосферных задержек хранятся в

 $<sup>^{1)}\,</sup>https://glonass-iac.ru/about/publications/detail.php?ID=4104 (дата обращения 01.09.2024 г.).$ 

формате IONEX [7] и измеряются в единицах  $TEC_u$  (TEC unit, 1 ед.  $TEC_u$  =  $10^{16}$  электронов/ $M^2$ , что соответствует задержке в 16 см при частоте L1 и 26 см применительно к L2). Для наглядности в дальнейшем ионосферные задержки и их оценки будут переведены в метры сигнала L1.

Степень влияния ионосферы на точность местоопределения не является стабильной величиной, поскольку активность ионосферы непосредственно зависит от ультрафиолетового и рентгеновского излучений Солнца, а также от геомагнитного поля Земли. Существует зависимость свойств ионосферы и её влияния на точность координатного решения от положения, времени, суточного и годовых циклов Земли, а также 11-летнего солнечного цикла Швабе — Вольфа. Стоит отметить, что на 2024-2025 гг. приходится пик текущего 11-летнего цикла Солнца. Для наглядности на рис. 4 представлен график усреднённой по поверхности Земли суточной ионосферной вертикальной задержки ПЭС в метрах применительно к сигналу L1 по расчётам ИАЦ КВНО за последние 29 лет. Значение такой задержки на 15.12.2023 составило 4,3 M.

Вертикальную ионосферную задержку можно пересчитать в наклонную, затем с учётом положения космических аппаратов — в пространственные карты распределения ионосферной ошибки одночастотного потребителя, при условии, что потребитель не использует модели ионосферы. Для наглядности на рис. 5 представлен график суточных усреднённых значений ошибок местоопределения за счёт влияния ионосферы по поверхности Земли и на территории России для одночастотных потребителей ГЛОНАСС при неучёте ионосферы с 01.01.2022 по 01.12.2024.

Для оценки точности региональных ионосферных карт SBAS был выбран суточный интервал 15.12.2023, при котором значение средней ионосферной доли в ошибке местоопределения по КА системы ГЛОНАСС составило 4,8 M глобально и 1,9 M на территории России. На территории России эта доля меньше ввиду высокой активности ионосферы на экваториальных широтах, а также соотношения PDOP ГЛОНАСС (глобальный  $\sim$ 2,0, по России  $\sim$ 1,8).

В ИАЦ КВНО ежесуточно производится формирование файлов региональных карт ионосферы SBAS в формате IONEX с шагом 5 epad по долготе и по широте, 1 epad по времени. На рис. 6 в качестве примера представлены ионосферные карты рассматриваемых SBAS-систем на 11:00 UTC 15.12.2023.

Для оценки точности региональные карты SBAS сравнивались с условно эталонными глобальными ионосферными картами из открытых источников. В ИАЦ КВНО производится расчёт в апостериорном режиме собственных глобальных карт ионосферы  $^{1}$ , которые открыто публикуются  $^{2}$  в файлах формата IONEX с 2018 г. Основой для уточнения параметров ионосферы служат общедоступные измерения глобально распределённой сети беззапросных измерительных станций Международной службы анализа IGS. При сравнении были задействованы глобальные карты ионосферы ( $Global\ Ionosphere\ Map\ (GIM)$ ) четырёх центров анализа IGS:  $CODE\$ (Европейский центр управления космическими полётами);  $JPL\$ (Лаборатория реактивного движения Национального

 $<sup>^{1)}</sup>$  Раздел «Ионосфера» на сайте ИАЦ КВНО. https://www.glonass-iac.ru/iono/ (дата обращения 01.09.2024 г.).

<sup>&</sup>lt;sup>2)</sup> Архив глобальных карт ионосферы на FTP-сервере ИАЦ КВНО. ftp://ftp.glonass-iac.ru/ MCC/PRODUCTS/ionex/ (дата обращения 01.09.2024 г.).

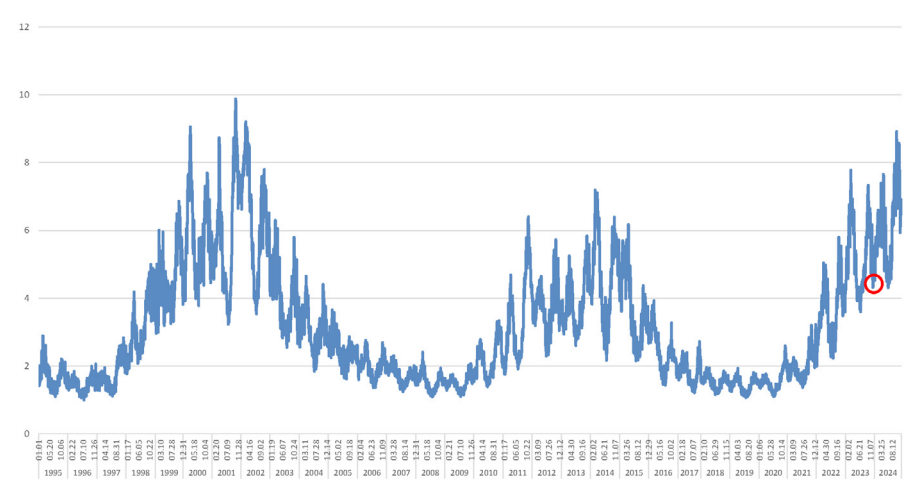
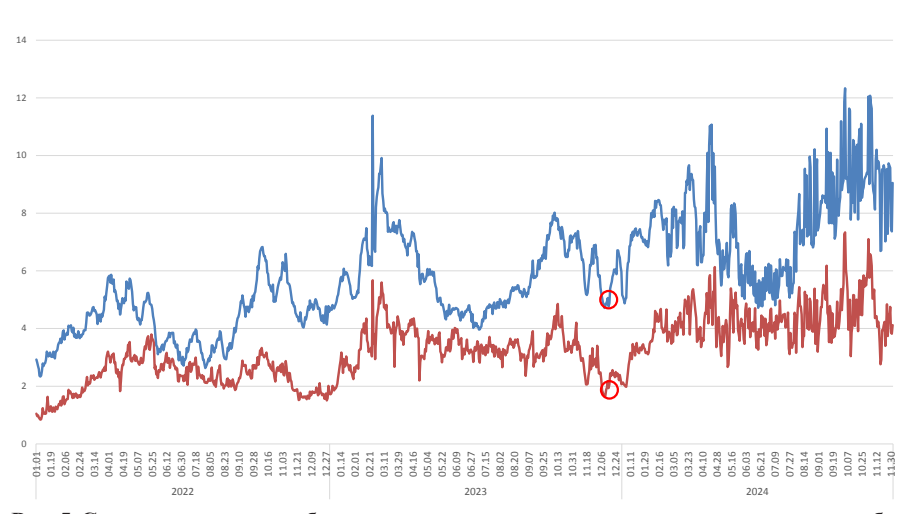


Рис. 4. Вертикальная среднесуточная ионосферная задержка в метрах сигнала L1 (январь 1995 г. – декабрь 2024 г.)



ANGA BDSBAS GAGAN MSAS

EGNOS SouthPAN UKSBAS WAAS

Рис. 6. Региональные карты ионосферы SBAS-систем (TEC<sub>u</sub> 11:00 UTC 15.12.2023)

управления по аэронавтике и исследованию космического пространства (HACA)); WHU (Уханьский университет). Также приведены результаты сопоставления с упрощённой моделью Клобучара из навигационного кадра GPS (KLOB). Сравнение проводилось при общих для всех карт широтах от 40 до 50  $\it zpad$  с.ш. применительно к семи  $\it SBAS$ -системам и от 40 до 50  $\it zpad$  ю.ш. применительно к  $\it SouthPAN$ .

В табл. 2 представлены итоги сравнения в метрах 7 региональных карт SBAS в Северном полушарии, 5 глобальных карт и модели ионосферы из кадра GPS.

Таблица2 Попарные среднеквадратичные отклонения (СКО) (в метрах) карт ионосферы SBAS и глобальных карт ионосферы от 40 до 50 град с.ш. (15.12.2023, при сигнале L1)

		GIM				SBAS						GPS		
Карта		CORG	EHRG	ИАЦ КВНО	JPRG	WHRG	ANGA	BDSBAS	EGNOS	GAGAN	MSAS	UKSBAS	WAAS	KLOB
GIM	CORG	_	0,27	0,31	0,35	0,25	0,42	0,47	0,32	0,79	0,56	0,61	0,44	1,07
	EHRG	0,27	_	0,26	0,29	0,28	0,36	0,37	0,28	0,64	0,50	0,56	0,34	1,12
	ИАЦ КВНО	0,31	0,26	_	0,31	0,33	0,35	0,35	0,24	0,45	0,51	0,57	0,34	1,15
	JPRG	0,35	0,29	0,31	_	0,31	0,39	0,34	0,27	0,51	0,50	0,61	0,35	1,14
	WHRG	0,25	0,28	0,33	0,31	_	0,44	0,39	0,34	0,63	0,57	0,66	0,45	1,12
	ANGA	0,42	0,36	0,35	0,39	0,44	-	_	0,31	_	_	0,58	_	1,23
	BDSBAS	0,47	0,37	0,35	0,34	0,39	_	_	_	0,59	0,43	_	_	1,27
SBAS	<i>EGNOS</i>	0,32	0,28	0,24	0,27	0,34	0,31	_	_	_	_	0,53	0,64	1,15
	GAGAN	0,79	0,64	0,45	0,51	0,63	-	0,59	ı	_	0,90	_	_	1,44
	MSAS	0,56	0,50	0,51	0,50	0,57	_	0,43	_	0,90	_	_	_	1,40
	UKSBAS	0,61	0,56	0,57	0,61	0,66	0,58	_	0,53	_	_	_	0,39	1,27
	WAAS	0,44	0,34	0,34	0,35	0,45	_	_	0,64	_	_	0,39	_	1,07
GPS	KLOB	1,07	1,12	1,15	1,14	1,12	1,23	1,27	1,15	1,44	1,40	1,27	1,07	_

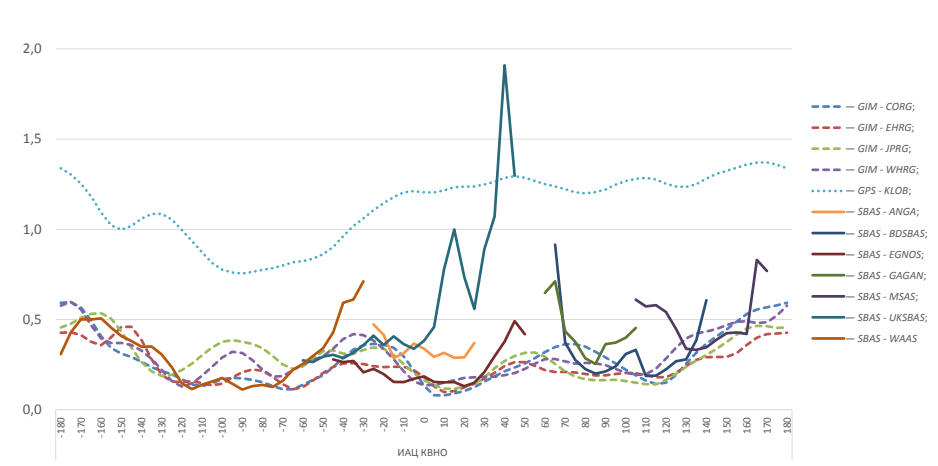


Рис. 7. Среднеквадратичное отклонение (в метрах) карт ионосферы SBAS и глобальных карт ионосферы от 40 до 50  $\it cpad$  с.ш. по сравнению с картой ИАЦ КВНО в зависимости от долготы (15.12.2023 при сигнале  $\it L1$ )

На рис. 7 представлены результаты сравнения карт SBAS в Северном полушарии относительно глобальной карты ионосферы ИАЦ КВНО, но расчёт проведён отдельно при каждом значении долготы с шагом в 5 zpad. Сплош-

ными линиями обозначены SBAS-системы, пунктирными — карты центров IGS, точечной линией обозначена модель из кадра GPS. График свидетельствует о том, что, как правило, точность ионосферных карт SBAS ухудшается по мере приближения к границам зоны покрытия, это особенно заметно у системы UKSBAS.

В табл. 3 приведены результаты попарного сравнения ионосферных карт в Южном полушарии с участием австралийской *SBAS*-системы *SouthPAN*.

Таблица Попарные СКО (в метрах) карт ионосферы SBAS SouthPAN и глобальных карт ионосферы от 40 до 50 град ю.ш. (15.12.2023 при сигнале L1)

Наименования системы				SBAS	GPS			
		CORG	EHRG	ИАЦ КВНО	JPRG	WHRG	SouthPAN	KLOB
GIM	CORG	_	0,32	0,57	0,46	0,36	0,64	0,86
	EHRG	0,32	-	0,58	0,53	0,44	0,61	0,89
	ИАЦ КВНО	0,57	0,58	-	0,59	0,59	0,71	1,05
	JPRG	0,46	0,53	0,59	-	0,46	0,56	0,99
	WHRG	0,36	0,44	0,59	0,46	_	0,70	0,99
SBAS	SouthPAN	0,64	0,61	0,71	0,56	0,70		0,81
GPS	KLOB	0,86	0,89	1,05	0,99	0,99	0,81	0,00

Как уже отмечалось SBAS-системы имеют разные зоны покрытия. На рассматриваемых широтах СКО глобальных карт ионосферы составило в среднем 0,3 M в Северном полушарии и 0,49 M в Южном; СКО семи SBAS-систем в среднем 0,45 M (от 0,24 M до 0,8 M), SouthPAN— около 0,6 M в Южном полушарии. Для сравнения: СКО ионосферной модели Клобучара из кадра GPS составило в среднем чуть более 1 M. Стоит отметить, что цена младшего разряда вертикальной ионосферной задержки в кадре SBAS—0,125 M.

Уже было отмечено, что фактическая среднесуточная вертикальная задержка составила 4,3 M в выбранную дату. Исходя из этого можно сделать вывод о том, что абсолютная точность глобальных карт ионосферы ИАЦ КВНО и других центров IGS, а также региональных карт SBAS-систем находится на дециметровом уровне, а относительная погрешность, как правило, не превышает 10%. Но при этом стоит учитывать, что влияние ионосферной ошибки на точность координатного решения нелинейно, зависит от местоположения, времени и других факторов.

## ЗАКЛЮЧЕНИЕ

В ИАЦ КВНО разработано ПО, позволяющее обрабатывать поток измерений отечественной системы СДКМ. После модернизации область применения была расширена на зарубежные SBAS-системы. С использованием общедоступного архива сообщений в формате SISNET в ИАЦ КВНО формируются скорректированные файлы ЭВИ SBAS в формате SP3 и региональные ионосферные карты в формате IONEX применительно к восьми действующим зарубежным системам SBAS.

В выбранном суточном интервале 15.12.2023 была проведена оценка базовых характеристик 8 из 10 существующих SBAS-систем, а также оценка точности ионосферы методом попарного сравнения с глобальными картами ионосферы ИАЦ КВНО и других центров анализа IGS.

В ходе представляемого исследования установлено, что помимо локальных натурных испытаний SBAS-систем с использованием приёмников, принимающих их сигналы, существует альтернативный подход, когда оценка характеристик SBAS-систем производится по всей зоне покрытия с применением данных архива сообщений в формате SISNET и эталонных карт ионосферы, а также эталонной ЭВИ при необходимости.

Проведённая работа позволяет утверждать, что параметры исследуемых SBAS-систем находятся в пределах допустимых значений (количество дополняемых KA, геометрический фактор, уровень доступности). Точность ионосферы, оцениваемой SBAS-системами, сопоставима с точностью глобальных карт ионосферы, составленными ИАЦ КВНО и другими центрами анализа IGS, и превосходит оперативную модель Клобучара из навигационного кадра GPS. В дальнейшем в ИАЦ КВНО планируется расширение исследования SBAS-систем и других существующих функциональных дополнений ГНСС.

#### ЛИТЕРАТУРА

- 1. Исаев Ю.В., Бабурин А.А., Сербин Д.А. и др. Повышение целостности ГНСС за счёт совместного использования СДКМ с другими системами SBAS. Ракетно-космическое приборостроение и информационные системы, 2023, т. 10, № 4, с. 56 66.
- 2. Аржанников А.А., Глотов В.Д., Котов И.В. Принципы работы и оценка некоторых характеристик функционального дополнения ГЛОНАСС. Космонавтика и ракетостроение, 2023, вып. 4(133), с. 67-79.
- 3. Котов И.В., Аржанников А.А., Глотов В.Д. Оценка некоторых характеристик различных систем функциональных дополнений ГНСС. В тез. докл. XXXI Санкт-Петербургской международной конференции по интегрированным навигационным системам. СПб: АО «Концерн «ЦНИИ «Электроприбор», 2024.
- 4. *Toran F.*, *Ventura-Traveset J.* SISNET User Interface Document. ESA document, Ref. E-RD-SYS-E31-010.
- 5. Minimum Operational Performance Standards for Global Positioning System. Wide Area Augmentation System Airborne Equipment. RTCA/DO-229C, Nov. 28, 2001.
- 6. The Extended Standard Product 3 Orbit Format (SP3-c). Steve Hilla, National Geodetic Survey, National Ocean Service, NOAA, Silver Spring, 2010, MD 20910-6233, LISA
- 7. Schaer Stefan, Gurtner Werner. IONEX. The IONosphere Map EXchange Format. Version 1.1. Astronomical Institute, University of Berne, Switzerland, 2015.
- 8. Аржанников А.А., Глотов В.Д., Митрикас В.В. Вычисление дифференциальных кодовых задержек и построение карт ионосферы с помощью ГНСС. Труды ИПА РАН, 2022, вып. 60, с. 3-11.
- 9. Радиосигналы и состав цифровой информации функционального дополнения системы ГЛОНАСС системы дифференциальной коррекции и мониторинга. Интерфейсный контрольный документ, ред. 2.0, 2020.

Статья поступила в редакцию 05.12. 2024 г. Статья принята к публикации 02.07. 2025 г.